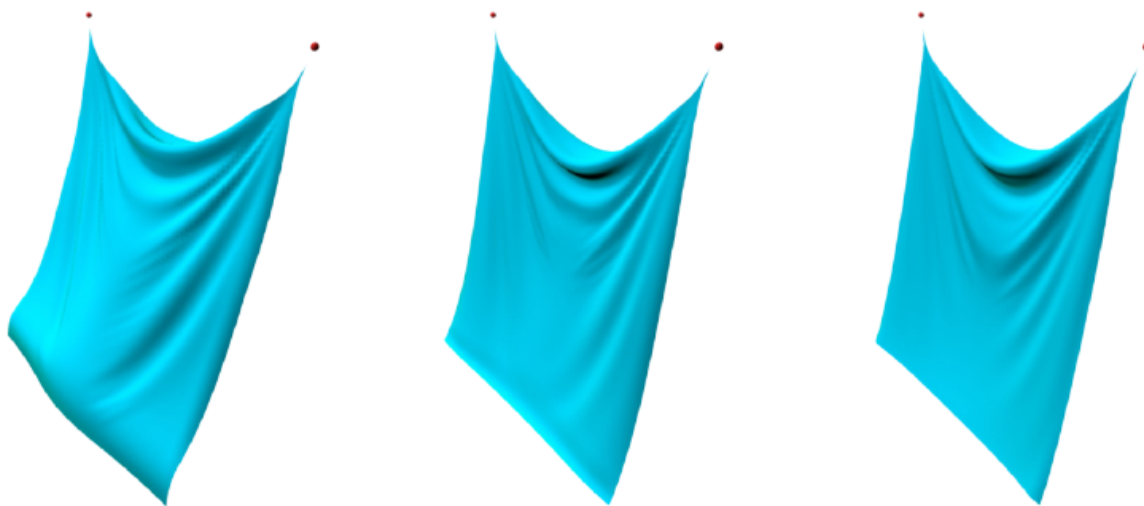


1. Background

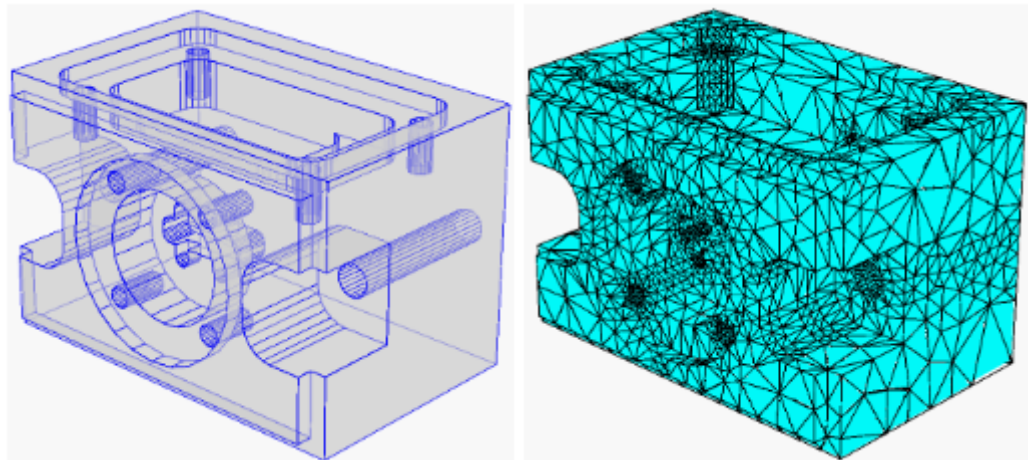
弹簧质点模型

- 一个弹簧质点系统就是由节点及节点之间的边所构成的图 (Graph)，也就是网格。网格图的每个顶点看为一个质点，每条边看为一根弹簧。
- 网格可以是二维网格 (Triangular meshes)，用于模拟布料、纸张等物体 (sheet objects)，如下图；也可以是三维体网格 (Tetrahedral meshes)，用于模拟体物体 (solid objects)，如后面段落介绍。



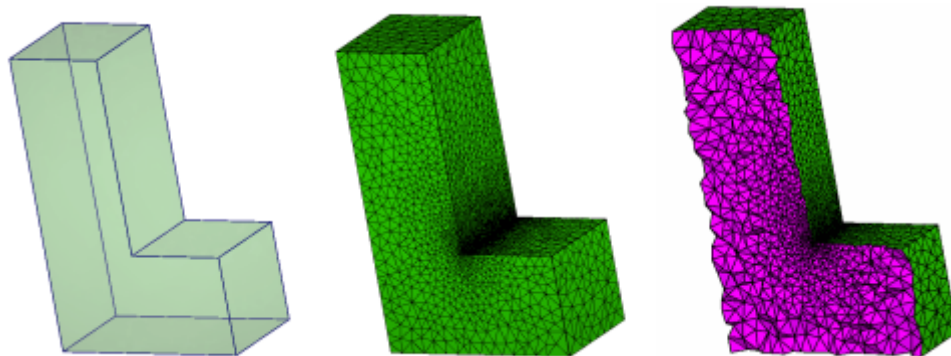
3D 四面体网格

- 对实体物体 (solid objects) 的模拟通常将实体剖分为四面体单元 (当然也可以是其他形式单元的剖分，比如六面体单元)，其实质就是 3D 空间的 graph:



3D 网格剖生成

- 对于一个封闭的 3D 模型 (通常由表面的顶点来表达，比如 obj, stl 文件等)，如需要将其看成实体，需要对进行三角剖分从而得到四面体网格:



2. Method

问题：由前 n 帧信息，求得第 $n + 1$ 帧信息（位移 \mathbf{x} ，速度 \mathbf{v} ）（设时间步长为 h ）？

欧拉隐式方法

$$\begin{aligned}\mathbf{x}_{n+1} &= \mathbf{x}_n + h\mathbf{v}_{n+1}, \\ \mathbf{v}_{n+1} &= \mathbf{v}_n + h\mathbf{M}^{-1}(\mathbf{f}_{int}(t_{n+1}) + \mathbf{f}_{ext}),\end{aligned}$$

记

$$\mathbf{y} = \mathbf{x}_n + h\mathbf{v}_n + h^2\mathbf{M}^{-1}\mathbf{f}_{ext}, \quad (*)$$

则原问题转化为求解关于 \mathbf{x} 的方程：

$$\mathbf{g}(\mathbf{x}) = \mathbf{M}(\mathbf{x} - \mathbf{y}) - h^2\mathbf{f}_{int}(\mathbf{x}) = 0,$$

利用牛顿法求解该方程，主要迭代步骤：

$$\mathbf{x}^{(k+1)} = \mathbf{x}^{(k)} - (\nabla\mathbf{g}(\mathbf{x}^{(k)}))^{-1}\mathbf{g}(\mathbf{x}^{(k)}).$$

迭代初值可选为 $\mathbf{x}^{(0)} = \mathbf{y}$.

迭代得到位移 \mathbf{x} 后更新速度 $\mathbf{v}_{n+1} = (\mathbf{x}_{n+1} - \mathbf{x}_n)/h$

上式中涉及关于弹力的求导，对于单个弹簧（端点为 $\mathbf{x}_1, \mathbf{x}_2$ ），劲度系数为 k ，原长为 l ，有：4

\mathbf{x}_1 所受弹力：

$$\mathbf{f}_1(\mathbf{x}_1, \mathbf{x}_2) = k(\|\mathbf{x}_1 - \mathbf{x}_2\| - l) \frac{\mathbf{x}_2 - \mathbf{x}_1}{\|\mathbf{x}_1 - \mathbf{x}_2\|}$$

\mathbf{x}_2 所受弹力：

$$\mathbf{f}_2(\mathbf{x}_1, \mathbf{x}_2) = -\mathbf{f}_1(\mathbf{x}_1, \mathbf{x}_2),$$

对

$$\mathbf{h}(\mathbf{x}) = k(\|\mathbf{x}\| - l) \frac{-\mathbf{x}}{\|\mathbf{x}\|},$$

求导有

$$\frac{d\mathbf{h}}{d\mathbf{x}} = k\left(\frac{l}{\|\mathbf{x}\|} - 1\right)\mathbf{I} - kl\|\mathbf{x}\|^{-3}\mathbf{x}\mathbf{x}^T.$$

带入弹力公式得：

$$\frac{\partial \mathbf{f}_1}{\partial \mathbf{x}_1} = \frac{\partial \mathbf{h}(\mathbf{x}_1 - \mathbf{x}_2)}{\partial \mathbf{x}_1} = k\left(\frac{l}{\|\mathbf{r}\|} - 1\right)\mathbf{I} - kl\|\mathbf{r}\|^{-3}\mathbf{r}\mathbf{r}^T$$

$$\frac{\partial \mathbf{f}_1}{\partial \mathbf{x}_2} = -\frac{\partial \mathbf{f}_1}{\partial \mathbf{x}_1}, \frac{\partial \mathbf{f}_2}{\partial \mathbf{x}_1} = -\frac{\partial \mathbf{f}_1}{\partial \mathbf{x}_1}, \frac{\partial \mathbf{f}_2}{\partial \mathbf{x}_2} = \frac{\partial \mathbf{f}_1}{\partial \mathbf{x}_1},$$

其中 $\mathbf{r} = \mathbf{x}_1 - \mathbf{x}_2$ ，对所有弹簧求导并组装即可求得力的导数（组装为稀疏矩阵，矩阵为对称阵）。

加速方法 (projective dynamic)

【参考文献】 Tiantian Liu, et al. "Fast simulation of mass-spring systems." *Acm Transactions on Graphics (Pro. Siggraph Asia)* 32.6(2013):1-7.

在上述欧拉方法中，对于内力（为保守力）有：

$$\mathbf{f}_{int}(\mathbf{x}) = -\nabla E(\mathbf{x})$$

故对方程(*)的求解可以转为为一个最小化问题：

$$\mathbf{x}_{n+1} = \min_{\mathbf{x}} \frac{1}{2}(\mathbf{x} - \mathbf{y})^T \mathbf{M}(\mathbf{x} - \mathbf{y}) + h^2 E(\mathbf{x})$$

同时对于弹簧的弹性势能可以描述为一个最小化问题：

$$\frac{1}{2}k(\|\mathbf{p}_1 - \mathbf{p}_2\| - r)^2 = \frac{1}{2}k \min_{\|\mathbf{d}\|=r} \|\mathbf{p}_1 - \mathbf{p}_2 - \mathbf{d}\|^2,$$

从而原问题转化为：

$$\mathbf{x}_{n+1} = \min_{\mathbf{x}, \mathbf{d} \in U} \frac{1}{2}\mathbf{x}^T(\mathbf{M} + h^2\mathbf{L})\mathbf{x} - h^2\mathbf{x}^T\mathbf{J}\mathbf{d} - \mathbf{x}^T\mathbf{M}\mathbf{y}$$

其中

$$U = \{\mathbf{d} = (\mathbf{d}_1, \mathbf{d}_2, \dots, \mathbf{d}_s), \mathbf{d}_s \in R^3, \|\mathbf{d}_i\| = l_i\} (l_i \text{ 为第 } i \text{ 个弹簧原长}),$$

The matrices $\mathbf{L} \in \mathbb{R}^{3m \times 3m}$, $\mathbf{J} \in \mathbb{R}^{3m \times 3s}$ are defined as follows:

$$\mathbf{L} = \left(\sum_{i=1}^s k_i \mathbf{A}_i \mathbf{A}_i^\top \right) \otimes \mathbf{I}_3, \mathbf{J} = \left(\sum_{i=1}^s k_i \mathbf{A}_i \mathbf{S}_i^\top \right) \otimes \mathbf{I}_3$$

where $\mathbf{A}_i \in \mathbb{R}^m$ is the incidence vector of i -th spring, i.e., $A_{i,i_1} = 1$, $A_{i,i_2} = -1$, and zero otherwise. Similarly, $\mathbf{S}_i \in \mathbb{R}^s$ is the i -th spring indicator, i.e., $S_{i,j} = \delta_{i,j}$. The matrix $\mathbf{I}_3 \in \mathbb{R}^{3 \times 3}$ is the identity matrix and \otimes denotes Kronecker product. Note that the matrix \mathbf{L} is nothing but a stiffness-weighted Laplacian of the mass-spring system graph.

从而可以对 \mathbf{x} , \mathbf{d} 迭代优化求得该优化问题的解:

\mathbf{x} 优化: 求解方程 $(\mathbf{M} + h^2 \mathbf{L})\mathbf{x} = h^2 \mathbf{J} \mathbf{d} + \mathbf{M} \mathbf{y}$ (这里可以预分解矩阵)

\mathbf{d} 优化: $d_i = l_i \frac{\mathbf{p}_{i_1} - \mathbf{p}_{i_2}}{\|\mathbf{p}_{i_1} - \mathbf{p}_{i_2}\|}$ (这里 l_i 为第 i 个弹簧原长, \mathbf{p}_{i_1} , \mathbf{p}_{i_2} 为其两 endpoint),

重复迭代过程直到收敛。

3.边界条件和约束

通常模拟过程中物体会各种约束或额外条件, 例如物体被固定了几个点, 对某些点施W加外力 (如重力、浮力、风力等)。

外力条件

- 物体受到的外力可以直接加在模拟的外力项中, 其导数为 0
- 对于重力, 可以将其加在外力中, 另一方面, 重力为保守力, 也可以将重力势能加在能量项中与弹性势能进行合并

位移约束

这里主要考虑固定部分质点的情形, 有两种方法处理:

- 第一种方法是在每一帧中求出该点的内力, 再施加与该内力大小相同, 方向相反的外力, 但与上一种情形不同的是, 若该内力对位移导数不为 0, 则该外力对位移导数也不为 0, 需要将其导数考虑进去;
- 第二种方法为仅考虑真正的自由坐标, 降低问题的维数, 具体如下:

将所有 n 个质点的坐标列为列向量 $\mathbf{x} \in \mathbb{R}^{3n}$, 将所有 m 个自由质点坐标 (无约束坐标) 列为列向量 $\mathbf{x}_f \in \mathbb{R}^{3m}$, 则两者关系:

$$\mathbf{x}_f = \mathbf{K} \mathbf{x}$$

$$\mathbf{x} = \mathbf{K}^T \mathbf{x}_f + \mathbf{b},$$

其中 $\mathbf{K} \in R^{3m \times 3n}$ 为单位阵删去约束坐标序号对应行所得的稀疏矩阵, \mathbf{b} 为与约束位移有关的向量, 计算为 $\mathbf{b} = \mathbf{x} - \mathbf{K}^T \mathbf{K} \mathbf{x}$, 若约束为固定质点则 \mathbf{b} 为常量。由此我们将原本的关于 \mathbf{x} 的优化问题转化为对 \mathbf{x}_f 的优化问题: 欧拉隐式方法中求解方程为:

$$\mathbf{g}_1(\mathbf{x}_f) = \mathbf{K}(\mathbf{M}(\mathbf{x} - \mathbf{y}) - h^2 \mathbf{f}_{int}(\mathbf{x})) = 0$$

$$\text{梯度: } \nabla_{\mathbf{x}_f} \mathbf{g}_1(\mathbf{x}_f) = \mathbf{K} \nabla_{\mathbf{x}} \mathbf{g}(\mathbf{x}) \mathbf{K}^T$$

加速方法中优化问题中 \mathbf{x} 迭代步骤转化为求解关于 \mathbf{x}_f 的方程:

$$\mathbf{K}(\mathbf{M} + h^2 \mathbf{L}) \mathbf{K}^T \mathbf{x}_f = \mathbf{K}(h^2 \mathbf{J} \mathbf{d} + \mathbf{M} \mathbf{y} - (\mathbf{M} + h^2 \mathbf{L}) \mathbf{b})$$

4. Summary

- 实现弹簧质点模型的欧拉隐式方法及加速方法

5. Reference
